

AGA0293 Astrofísica Estelar

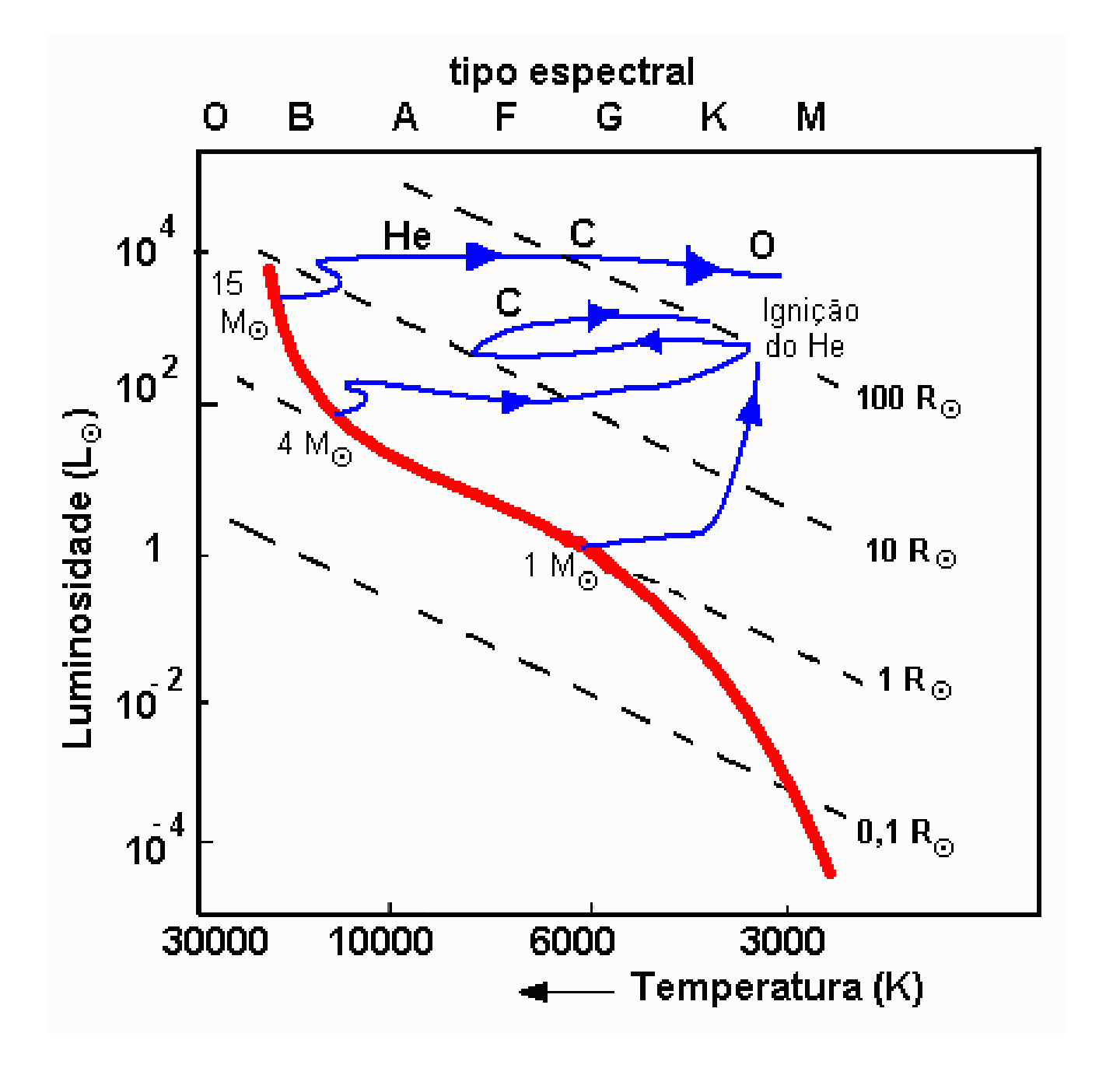
Profa. Jane Gregorio-Hetem

Capítulo 15 Evolução de Estrelas Massivas

- 15.1 Evolução das estrelas massivas após a Sequência Principal
- 15.2 Classificação de Supernovas
- 15.3 Supernovas de colapso de *core*
- 15.4 Gamma ray bursts

Evolução de Estrelas com altas massas

- Todas estrelas saem da SP quando termina o H do núcleo central ⇒ seguem para região das gigantes vermelhas ⇒ diferentes caminhos.
- Para estrelas com $M > 8M_{\odot}$ a temperatura central é alta o suficiente para queima de elementos pesados até o Fe.
- O núcleo de estrelas massivas se desenvolve muito rapidamente. Várias etapas da fusão ocorrem sem que a estrela sofra alterações drásticas.

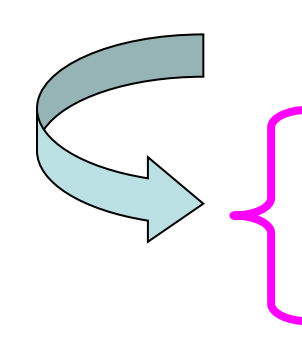


Períodos entre equilíbrio e instabilidade

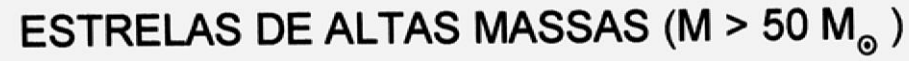
- temperatura aumenta,
- reações nucleares se aceleram
- energia sustenta o colapso gravitacional.

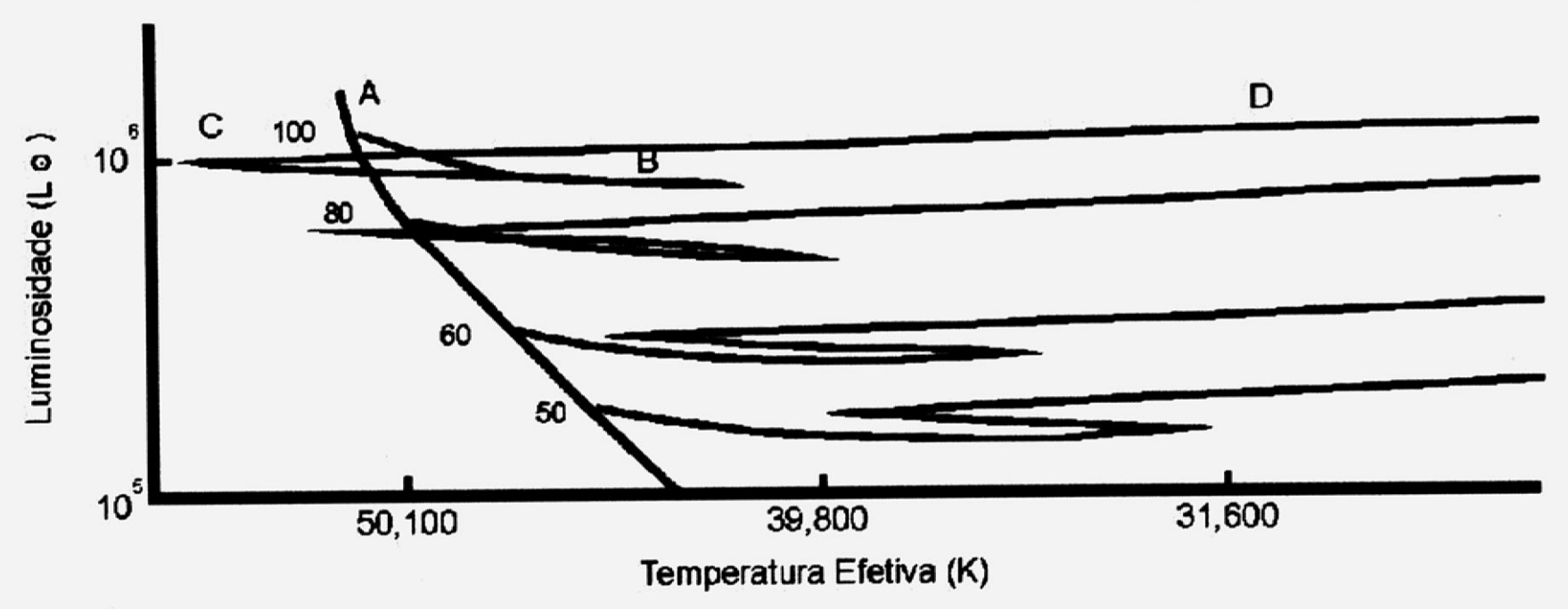
A duração desses eventos é cada vez mais curta.

Para M=20M_☉



H queima durante 10⁷ anos; He (10⁶ anos); C (10³ anos); O (1 ano); Si (1 semana), Fe (*core* formado em 1 dia).





Ao longo das trajetórias, as massas diminuem devido a fortes ventos estelares: 10^{-6} a 10^{-7} M_{\odot}/ano.

$M=100 M_{\odot}$

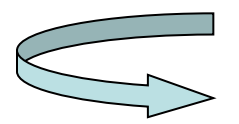
 $A \rightarrow B: L\downarrow ; T\downarrow (em 2.8 \times 10^6 anos a estrela perde ~57 M_{\odot})$

 $B \rightarrow C: T^{\uparrow}$ (a estrela perde ~42 M_{\odot})

 $C \rightarrow D: T^{\downarrow}$ (ate início da queima de He ~ 3 x 10⁶ anos)

Estágios Finais de Estrelas Massivas

Como a fusão do Fe não é exotérmica,



fim da energia → colapso gravitacional

T ~ 10⁹ K ⇒ fotodesintegração do Fe em elementos mais leves até ⇒ prótons e nêutrons.



absorve energia ⇒ estrela esfria e entra em colapso acelerado

(não pode ser sustentado pela pressão de e- degenerados)

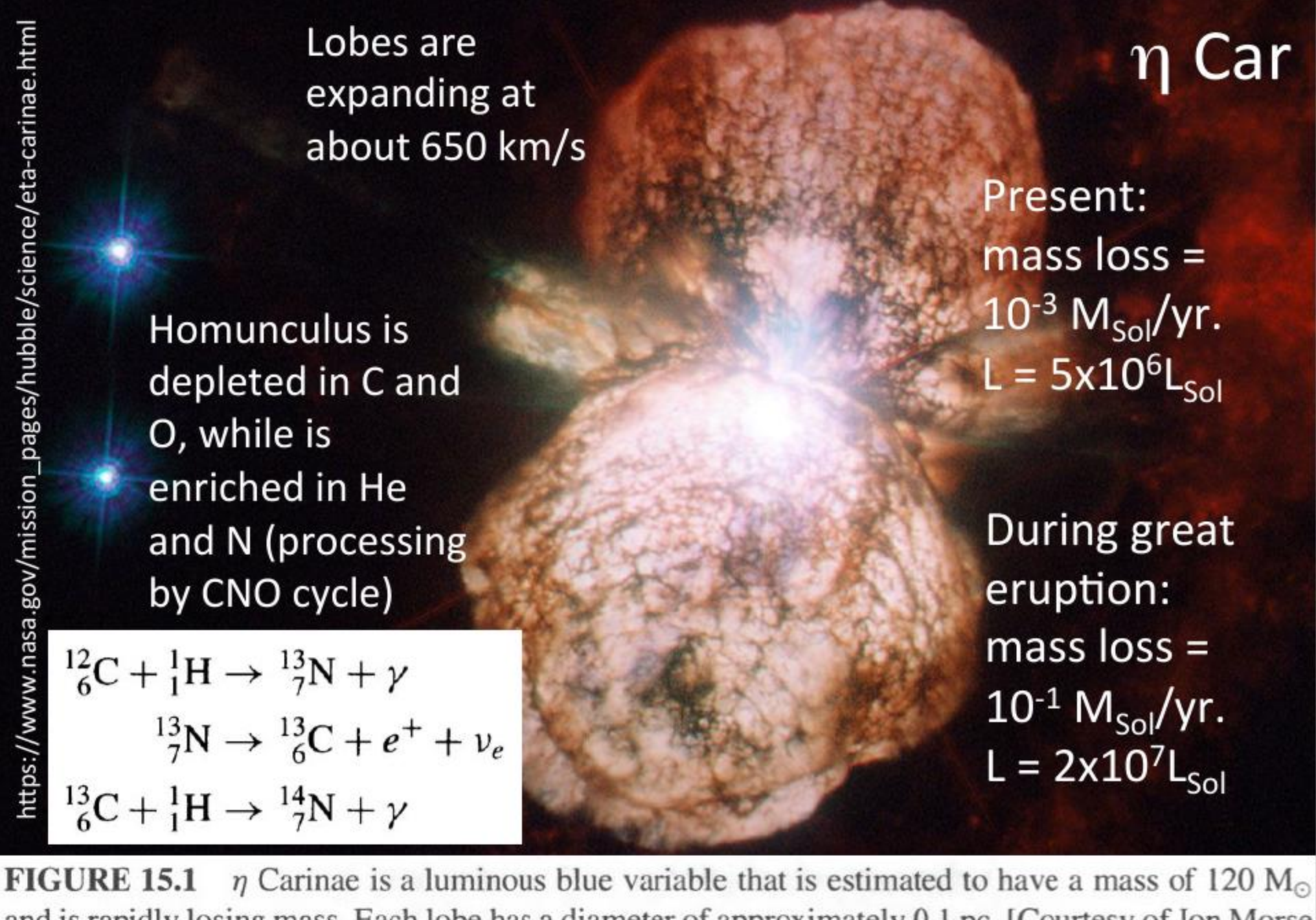
Explosão de supernovas

P \uparrow T \uparrow material é transformado em nêutrons $p + e^- \rightarrow n + \nu$

Número de e⁻ \checkmark $\rho \sim 10^{15} \text{ kg m}^{-3}$

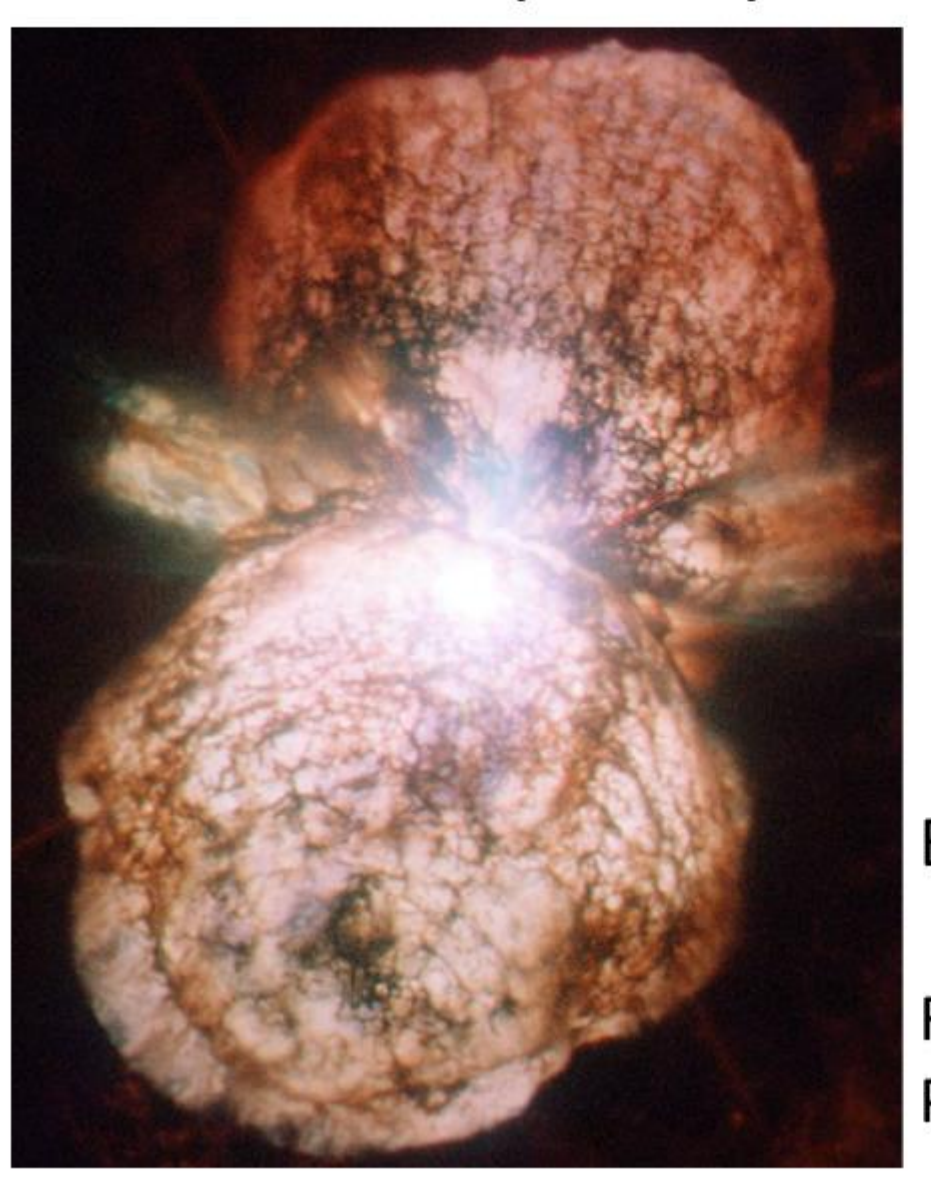
Degenerescência de nêutrons pode conter o colapso, mas a contração "rebate" ⇒ expansão violenta ⇒ camadas externas ejetadas ⇒ **supernova***.

(*) Cap. 15.2 Tipos de SN



and is rapidly losing mass. Each lobe has a diameter of approximately 0.1 pc. [Courtesy of Jon Morse (University of Colorado) and NASA.]

Luminous blue variables (LBVs)



$$T_e \sim 15\,000 - 30\,000\,K$$

L $\sim 10^6\,L_{Sol}$

Massas $> 85 M_{Sol}$

$$\frac{L_{\rm Ed}}{L_{\odot}} \simeq 3.8 \times 10^4 \, \frac{M}{M_{\odot}}$$

$$L_{\rm Ed} = \frac{4\pi Gc}{\overline{\kappa}} M$$

Binarity in LBVs?



Luminosidade limite de Eddington: máxima luminosidade radiativa para a estrela se manter em equilíbrio hidrostático

*LBV*s → composição e fenômenos de ejeção → póssequência principal → região de instabilidade no Diagrama H-R → comportamento transiente.

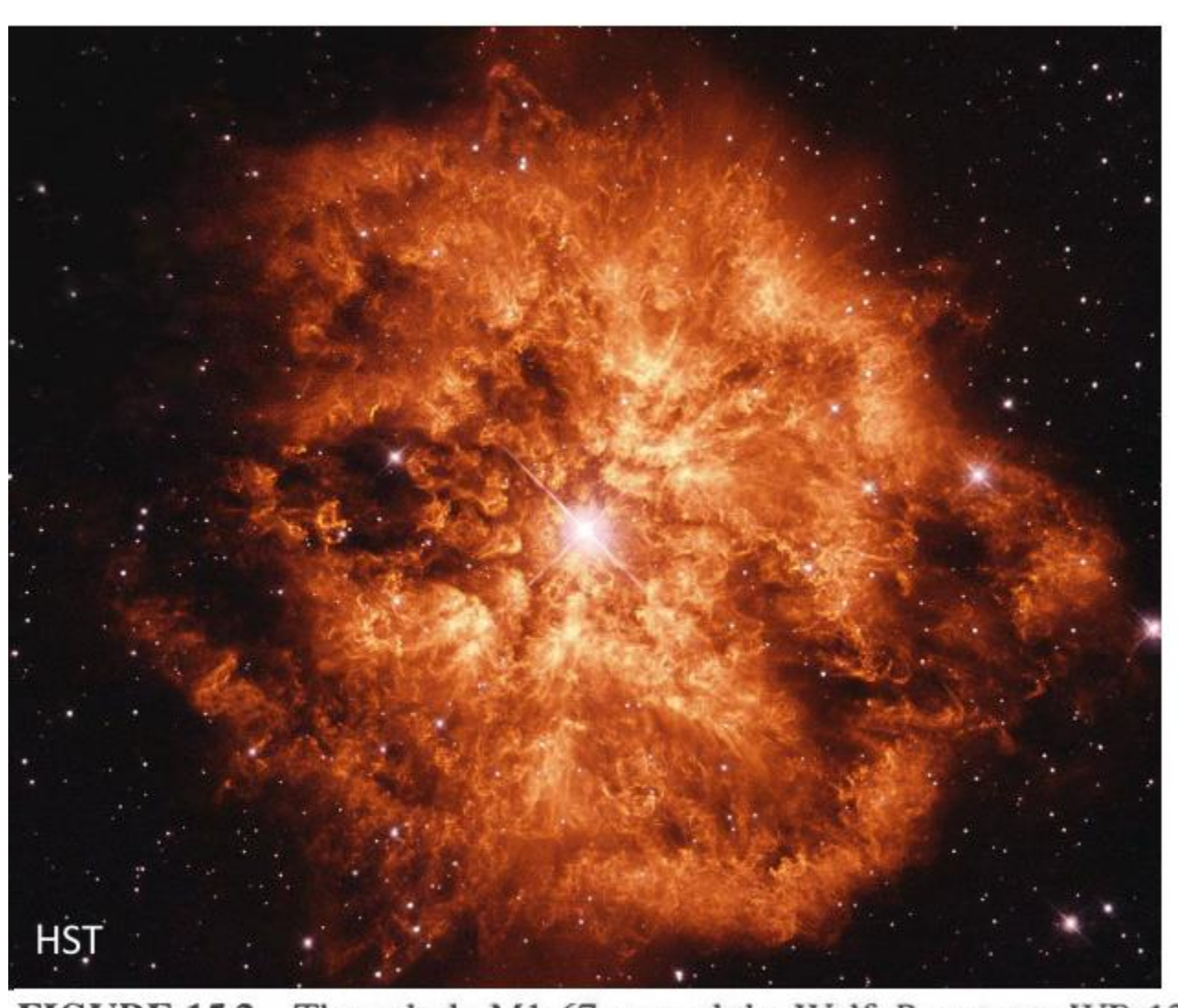
• Estrelas no topo da sequência principal encontram-se próximas do limite de Eddington → pressão de radiação é igual (ou supera) a força gravitacional nas camadas superficiais da estrela:

$$L_{Ed} = \frac{4\pi G c}{\kappa} M \int_{\kappa}^{\infty} \frac{1}{\kappa} = 0,02(1+X)m^2kg^{-1} \quad \text{(Eq. 9.27)}$$

$$\frac{L_{Ed}}{L_{Sol}} = 3,8 \times 10^4 \frac{M}{M_{Sol}} \quad \text{para X=0,7}$$

Estrelas Wolf-Rayet

$T_e \sim 25\,000 - 100\,000\,K$



mass loss > 10^{-5} M_{Sun}/yr .

winds 800 – 3000 km/s

Rotation 300 km/s

Masses > 20 M_{Sun}

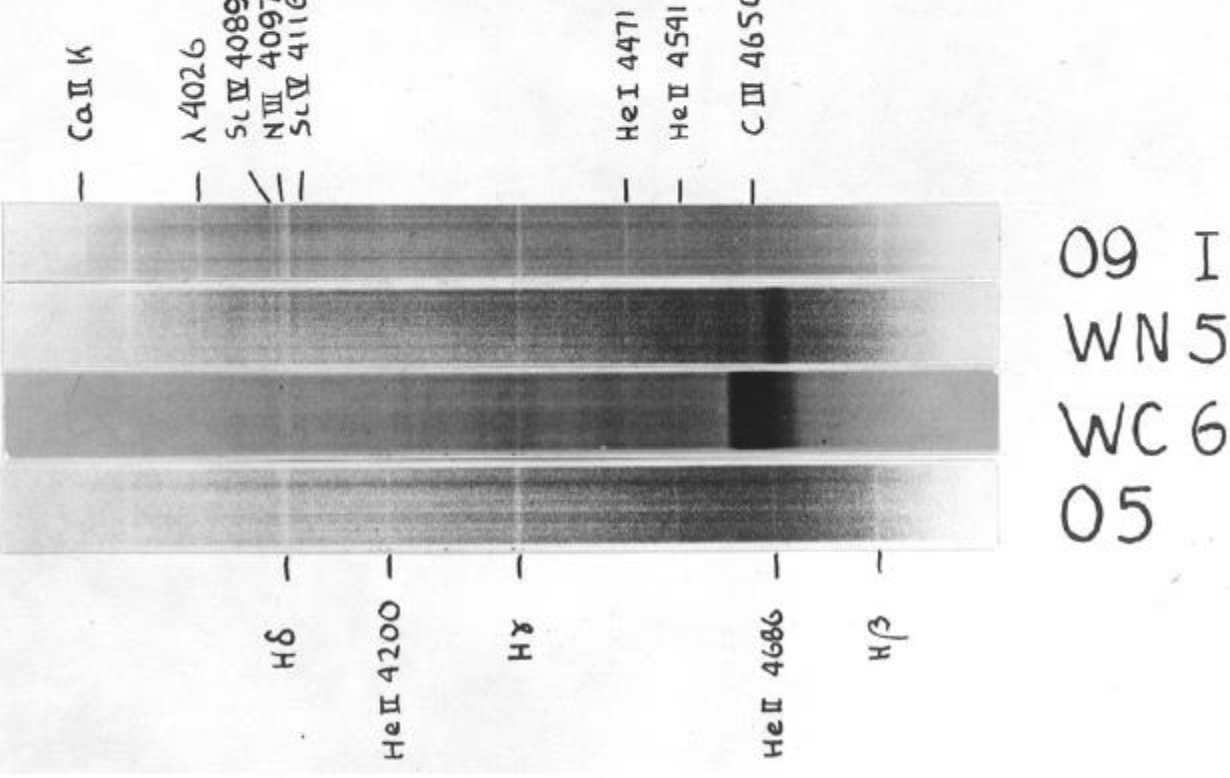
FIGURE 15.2 The nebula M1-67 around the Wolf–Rayet star WR 124. The surface temperature of the star is about 50,000 K. Clumpiness is clearly evident in the nebula, and the mass of each blob is about 30 M_{\oplus} . WR 124 is at a distance of 4600 pc in Sagittarius. [Courtesy of Yves Grosdidier

Wolf Rayet: WN, WC, WO

Two Wolf-Rayet Stars

The spectral types of the two Wolf-Rayet stars were determined by Sanford and Wolf Rayet stars Wilson (Ap J 90, 237, 1939).

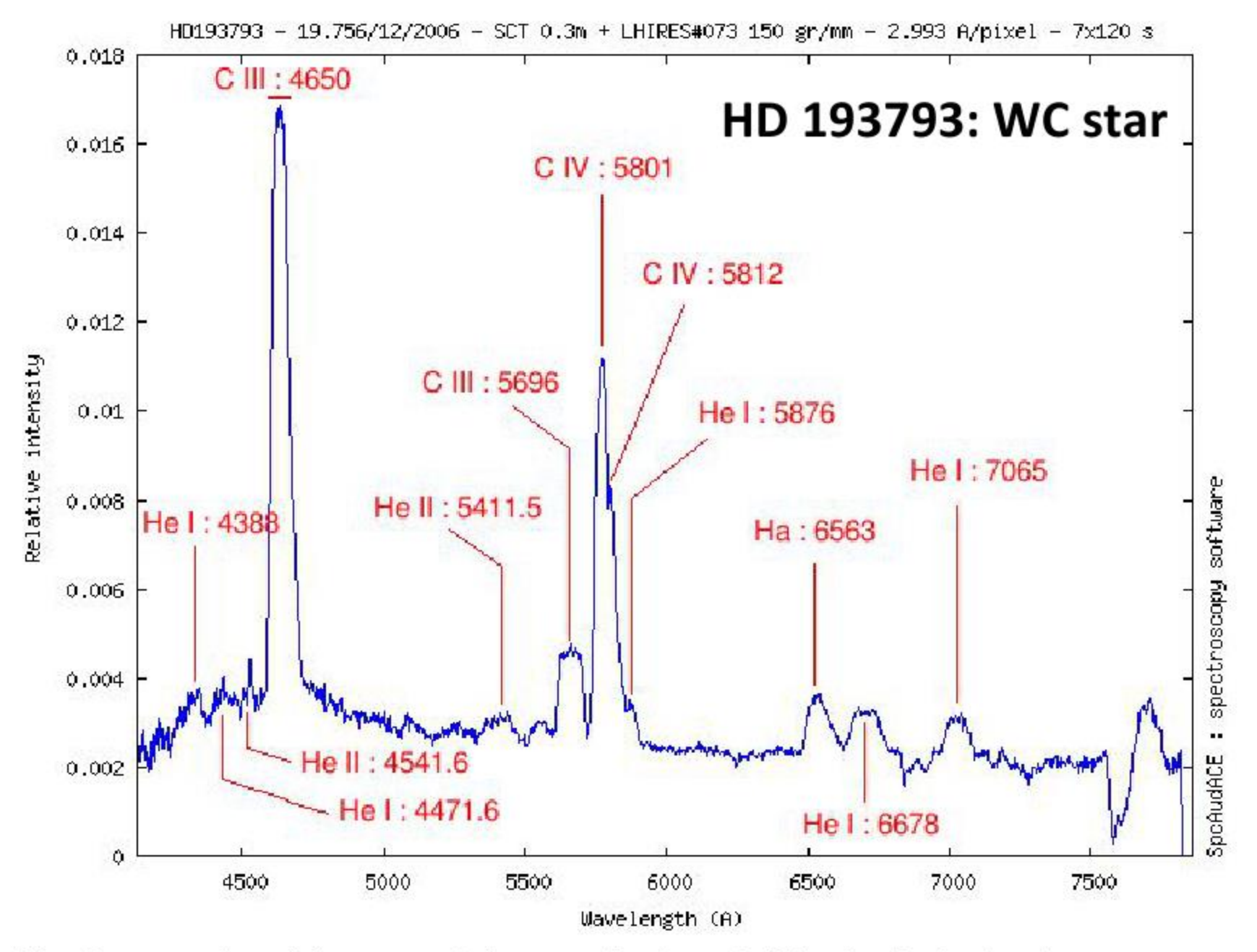
have ejected their outermost layers $0\rightarrow WN\rightarrow WC\rightarrow WO$



WN5

05

http://www.ulo.ucl.ac.uk/library/catalogues/mkkatlas/xhtml/index.html



http://wsdiscovery.free.fr/astronomie/spectro/pedagogie/identite/index.html

Outras estrelas do topo do Diagrama H-R:

BSG: supergigantes azuis

RSG: supergigantes vermelhas

Of: supergigantes tipo O com linhas de emissão pronunciadas

Esquema geral evolutivo de estrelas massivas

$$M > 85 \text{ M}_{\odot} : O \rightarrow Of \rightarrow LBV \rightarrow WN \rightarrow WC \rightarrow SN$$

$$40~{\rm M}_{\odot} < M < 85~{\rm M}_{\odot}: {\rm O} \rightarrow {\rm Of} \rightarrow {\rm WN} \rightarrow {\rm WC} \rightarrow {\rm SN}$$

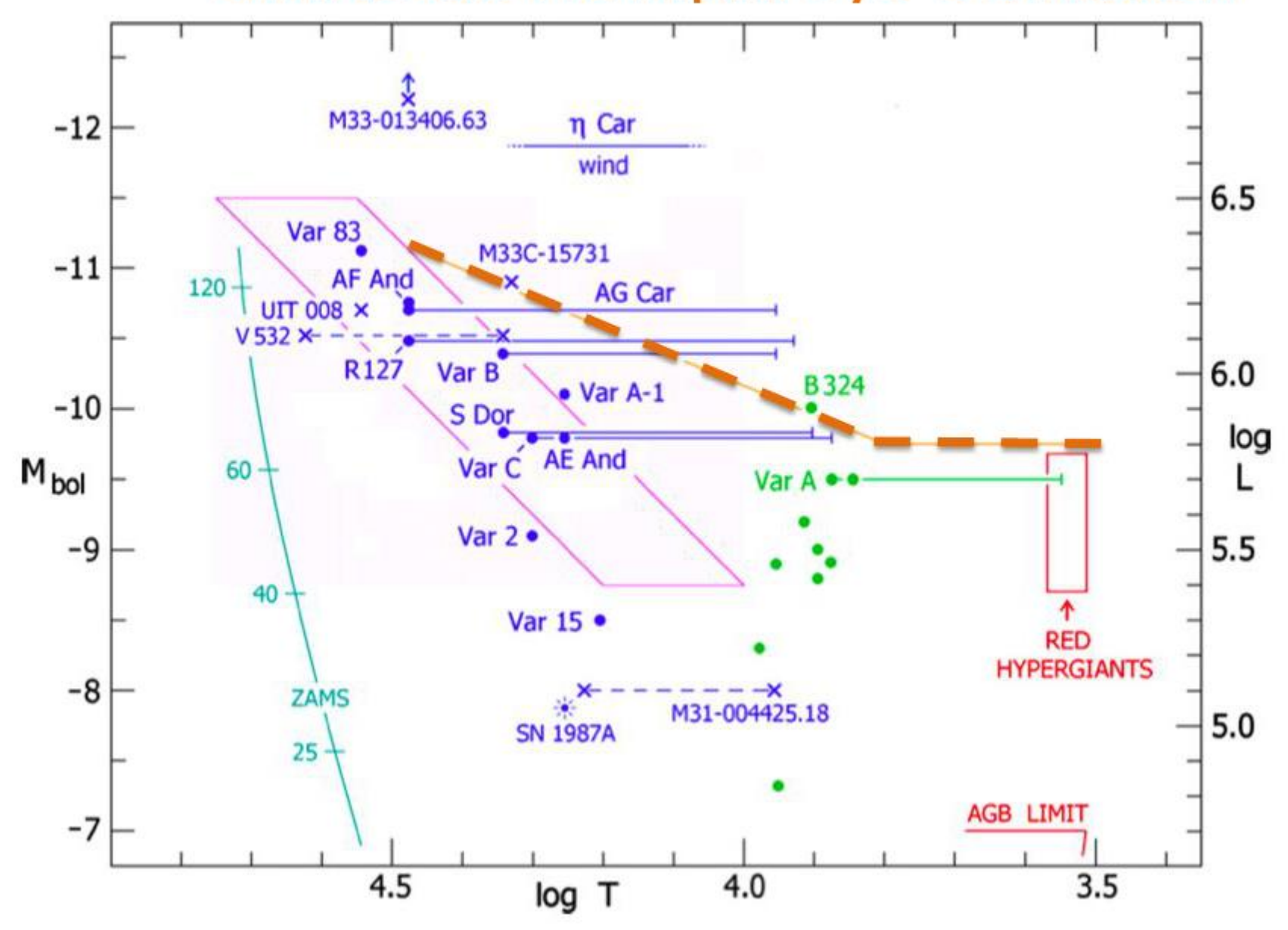
$$25~\mathrm{M}_\odot < M < 40~\mathrm{M}_\odot : \mathrm{O} \to \mathrm{RSG} \to \mathrm{WN} \to \mathrm{WC} \to \mathrm{SN}$$

$$20 \text{ M}_{\odot} < M < 25 \text{ M}_{\odot} : O \rightarrow \text{RSG} \rightarrow \text{WN} \rightarrow \text{SN}$$

$$10 \text{ M}_{\odot} < M < 20 \text{ M}_{\odot} : O \rightarrow \text{RSG} \rightarrow \text{BSG} \rightarrow \text{SN}$$

Estrelas muito massivas nunca evoluem para a região das supergigantes vermelhas no Diagrama H-R

- - - Limite de Humphreys-Davidson



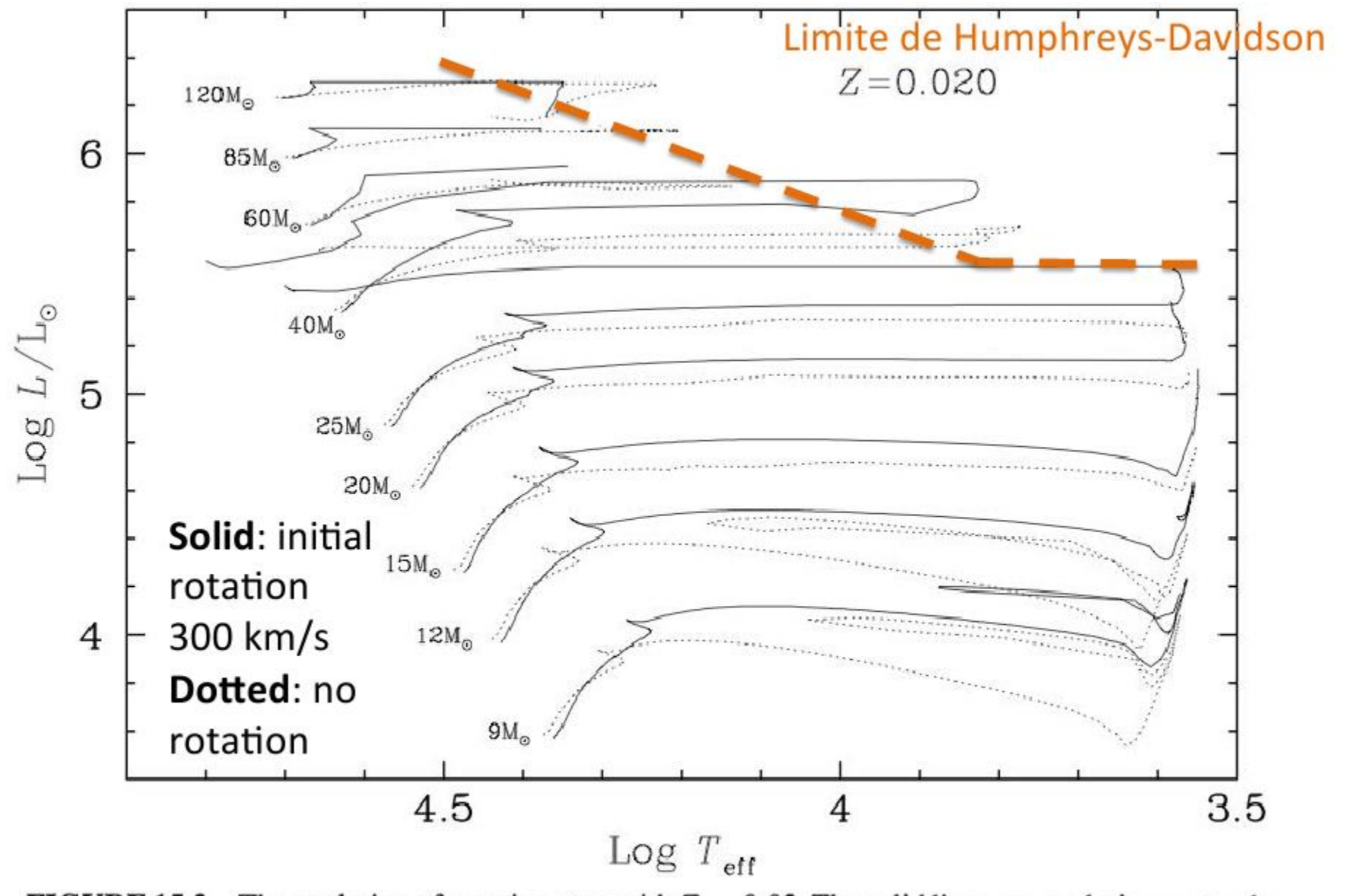


FIGURE 15.3 The evolution of massive stars with Z = 0.02. The solid lines are evolutionary tracks computed with initial rotation velocities of 300 km s⁻¹, and the dotted lines are evolutionary tracks for stars without rotation. Mass loss has been included in the models and significantly impacts the evolution of these stars. (Figure from Meynet and Maeder, Astron. Astrophys., 404, 975, 2003.)

Próxima aula

- 15.2 Classificação de Supernovas
- 15.3 Supernovas de colapso de *core*
- 15.4 Gamma ray bursts